

۱۳۱۴۷



دانشگاه پیام نور مشهد

پایان نامه جهت اخذ درجه کارشناسی ارشد فیزیک
گرایش حالت جامد

گرادیان میدان الکتریکی $AmRh_3$

استاد راهنما:

آقای دکتر سید مهدی بیضایی

استاد مشاور:

آقای دکتر جمیل آریایی

نگارش:

زینب جعفری زاده گوغری

شهریور ۸۸

۱۳۱۲۷۰

انجمن اطلاع‌رسانی مرکز علمی پیام
تعمیر مرکز

۱۱۸۸/۱۱/۱۲



دانشگاه پیام نور
خراسان رضوی
بسم تعالی

صور تجلسه دفاع از پایان نامه

پایان نامه تحت عنوان: گرادیان میدان الکتریکی ترکیب $AmRh_3$

که توسط زینب جعفری زاده گوغری تهیه و به هیئت داوران ارائه گردیده است مورد تأیید می باشد.

تاریخ دفاع: ۱۳۸۸/۶/۲۳
نمره سر (نورده ها) (درجه ارزشیابی: عالی)

اعضای هیئت داوران:

نام و نام خانوادگی هیئت داوران مرتبه علمی امضاء

دکتر سید مهدی بیضایی

استاد راهنما:

استاد یار

استاد راهنمای همکار:

دکتر جمیل آریایی

استاد مشاور:

استاد یار

دکتر رضا بنام

استاد داور:

دانشیار

دکتر افضل رقوی

نماینده گروه امور آموزشی استاد یار

وزارت اطلاعات و ارتباطات
تسبیح



دانشگاه پیام نور
خراسان رضوی
باستقلال

تصویب نامه پایان نامه

تاریخ: ۱۳۸۸/۶/۳۱
شماره: ۰۸۱/۸۲۵۹۹
پوست:

پایان نامه تحت عنوان: گرادیان میدان الکتریکی ترکیب $AmRh_3$

که توسط زینب جعفری زاده گوغری تهیه و به هیئت داوران ارائه گردیده است مورد تأیید می باشد.

تاریخ دفاع: ۱۳۸۸/۶/۲۳
نمره (نوزدهم) (۱۹) درجه ارزشیابی: عالی

اعضای هیئت داوران:

نام و نام خانوادگی هیئت داوران مرتبه علمی امضاء

دکتر سید مهدی بیضایی

استاد راهنما:

استاد یار

استاد راهنمای همکار:

دکتر جمیل آریایی

استاد مشاور:

استاد یار

دکتر رضا بنام

استاد داور:

دانشیار

دکتر افضل رقوی

نماینده گروه امور آموزشی استاد یار

تقدیم به پدر و مادرم

تقدیم به همسر و فرزندم

تقدیم به همه می خواهران و برادرانم

و تقدیم به همه می کسانی که برای یاد دادن عشق می ورزند

پاسکزاری

حمد و سپاس خداوند مهربان را که به من فرصت ادامه تحصیل را عطا فرمود.
از زحمات استاد ارجمندم دکتر سید مهدی بیضائی استاد راهنما، از دکتر جمیل آریایی
استاد مشاور، همچنین از دکتر رضا بنام که داوری این پایان نامه را پذیرفتند و از دکتر
رقوی، نماینده گروه، کمال تشکر را دارم، و از دوستانم خانم جلالی، شاداب دباغ، نجمه
موسوی که در این کار من را همراهی کردند، متشکرم.

فهرست مطالب

صفحه	عنوان
	فصل اول
۳	تاریخچه
	فصل دوم: مطالعه‌ی دستگاه‌های بس ذره‌ای
۶	۱-۲ مقدمه
۸	۲-۲- مطالعه‌ی کوانتومی دستگاه بس ذره‌ای
۱۰	۳-۲- جدا سازی بخش الکترونی و یونی معادله‌ی شرودینگر
۱۲	۴-۲- حل دستگاه بس الکترونی
۱۳	۲-۴-۱- نظریه‌ی توماس فرمی
۱۴	۲-۴-۲- نظریه‌ی تابع چگالی
۱۷	۲-۵- معادلات تک الکترونی کوهن-شم
۲۰	۲-۶- تابعی تبادلی همبستگی
۲۲	۲-۷- تقریب شیب تعمیم یافته (GGA)

فصل سوم: روش‌های حل معادلات تک الکترونی کوهن - شم

۲۴	۱-۳ مقدمه
۲۴	۲-۳ روش امواج تخت بهبود یافته، APW
۲۹	۳-۳ روش امواج تخت بهبود یافته خطی (LAPW)
۳۱	۴-۳ روش تخت امواج بهبود یافته خطی (LAPW+LO)
۳۲	۵-۳ روش امواج تخت بهبود یافته با اوربیتال موضعی (APW+lo)
۳۳	۶-۳ روش پتانسیل کامل - امواج تخت بهبود یافته خطی (FP-LAPW)

فصل چهارم: برنامه‌ی کامپیوتری وین

۳۶	۱-۴ مقدمه
۳۶	۲-۴ مرحله اول محاسبات ورود اطلاعات و آماده سازی اطلاعات
۴۷	۳-۴ مرحله دوم محاسبات - اجرای برنامه SCF
۵۱	۴-۴ مرحله سوم محاسبات - استخراج و تحلیل نتایج
۵۱	۱-۴-۴ برنامه DOS
۵۳	۲-۴-۴ برنامه Band structure
۵۴	۳-۴-۴ برنامه Optimize
۵۷	۴-۴-۴ محاسبه‌ی گرادیان میدان الکتریکی

فصل پنجم: محاسبه‌ی خواص ساختاری، الکترونی و گرادیان میدان

الکتريکی ترکیب $AmRh_3$

۵۹	۱-۵ مقدمه
۶۰	۲-۵ روش انجام محاسبات ترکیب $AmRh_3$
۶۲	۳-۵ خواص ساختاری ترکیب $AmRh_3$
۶۸	۴-۵ ساختار نواری
۷۴	۵-۵ محاسبه چگالی حالت‌ها DOS
۷۵	۱-۵-۵ محاسبه چگالی حالت ترکیب $AmRh_3$
۸۱	۶-۵ ضریب گرمای ویژه الکترونی γ
۸۳	۷-۵ گرادیان میدان الکتريکی
۸۳	۱-۷-۵ تعريف گرادیان میدان الکتريکی
۸۷	۲-۷-۵ تانسور گرادیان میدان الکتريکی
۹۰	۳-۷-۵ منشا گرادیان میدان الکتريکی به بیانی دیگر
۹۱	۴-۷-۵ محاسبه‌ی گرادیان میدان الکتريکی در روش FP-LAPW
۹۳	۵-۷-۵ محاسبات گرادیان میدان الکتريکی ترکیب $AmRh_3$
۹۹	نتیجه‌گیری
۱۰۱	پیوست
۱۰۲	منابع

فهرست شکل‌ها

شکل	صفحه
شکل (۱-۲) الکترونهای ظرفیت و مغزه	۹
شکل (۱-۳) تقسیم فضا به دو ناحیه مافین تین و ناحیه بین جایگاهی	۲۵
شکل (۲-۳) روش محاسبه‌ی ویژه مقادیر مجاز در روش APW به ازای یک K خاص	۲۷
شکل (۳-۳) نمایشی از حل خود سازگار معادلات تک ذره‌ای کوهن-شم در روش APW.	۲۸
شکل (۴-۳) رفتار موج در هنگام عبور از مرز کره موفین-تین نرمتر است.	۳۰
شکل ۱-۴ StructGen	۳۷
شکل ۲-۴ مرحله initialize	۳۸
شکل ۳-۴ فایل Case.inst	۳۹
شکل ۴-۴ فایل ورودی برنامه اجرایی LAPW _۱	۴۲
شکل ۵-۴ خطی سازی انرژی	۴۴
شکل ۶-۴ فایل ورودی برنامه اجرایی LAPW _۲	۴۶
شکل ۷-۴ طرحواره اجرای برنامه در WIEN _۲ K	۵۰
شکل ۸-۴ فایل ورودی چگالی حالت‌ها	۵۲
شکل ۹-۴ فایل ورودی ساختار نواری	۵۳
شکل ۱۰-۴ analisis	۵۵
شکل ۱۱-۴ سهمهای گرادیان الکتریکی	۵۸
شکل ۱-۲-۵ ساختار ترکیب AmRh _۳	۶۱

- شکل ۲-۲-۵ مقادیر بهینه kpoint
- شکل ۱-۳-۵: محاسبه پارامتر شبکه با استفاده از تقریب GGA و GGA+SO و GGA+Spin- polarized
- شکل ۲-۳-۵: محاسبه پارامتر شبکه با استفاده از تقریب LDA و LDA+SO
- شکل ۳-۳-۵: محاسبه پارامتر شبکه با استفاده از تقریب GGA+SOC+spin-polarized
- شکل ۱-۴-۵: ساختار نواری با استفاده از تقریب GGA+Spin-polarized در اسپین پائین
- شکل ۲-۴-۵: ساختار نواری با استفاده از تقریب GGA+Spin-polarized در اسپین بالا
- شکل ۳-۴-۵: ساختار نواری ترکیب $AmRh_3$ در تقریب GGA
- شکل ۴-۴-۵: ساختار نواری ترکیب $AmRh_3$ در تقریب GGA+SO
- شکل ۱-۵-۵: چگالی حالت‌های جزئی در تقریب GGA
- شکل ۲-۵-۵: چگالی حالت‌های جزئی در تقریب GGA+SO
- شکل ۳-۵-۵: چگالی حالت کلی در تقریب GGA
- شکل ۴-۵-۵: چگالی حالت کلی در تقریب GGA+SO
- شکل ۵-۵-۵: چگالی حالت کلی در ترکیب $AmRh_3$, Am, Rh در تقریب GGA
- شکل ۶-۵-۵: چگالی حالت کلی در ترکیب $AmRh_3$, Am, Rh در تقریب GGA+SOC
- شکل ۷-۵-۵: چگالی حالت کلی با تقریب GGA+Spin-polarized
- شکل ۸-۵-۵: چگالی حالت کلی با تقریب GGA+Spin-polarized+SO در فاز فرومغناطیس
- شکل ۱-۷-۵: اثر فشار بر روی گرادیان میدان الکتریکی در تقریب GGA و GGA+SO
- شکل ۲-۷-۵: اثر فشار بر روی گرادیان میدان الکتریکی در تقریب LSDA و LSDA+SO

فهرست جدول‌ها

صفحه	جدول
۴۱	جدول (۱-۴) رابطه‌ی بین اعداد کوانتومی
۶۲	جدول ۵-۲-۱: . اطلاعات مورد نیاز برای ساختن فایل $struct.AmR_3$
۶۸	جدول ۵-۳-۱: مقدار پارامتر شبکه و مدول حجمی و مشتق مدول حجمی
۸۲	جدول ۵-۶-۱: محاسبه ضریب گرمای ویژه الکترونی در ترکیب $AmRh_3$
۹۴	جدول ۵-۷-۱ مولفه اصلی گرادیان میدان الکتریکی در مکان Rh
۹۴	جدول ۵-۷-۲ مولفه اصلی گرادیان میدان الکتریکی در مکان Rh
۹۵	جدول ۵-۷-۳ مولفه اصلی گرادیان میدان الکتریکی در مکان Rh
۹۵	جدول ۵-۷-۴ مولفه اصلی گرادیان میدان الکتریکی در مکان Rh
۹۵	جدول ۵-۷-۵ عدم تقارن توزیع بار در اوربیتال p و d
۹۶	جدول ۵-۷-۶ عدم تقارن توزیع بار در اوربیتال p و d
۹۶	جدول ۵-۷-۷ محاسب EFG در تقریب‌های مختلف ($10^{21} V/m^2$)
۹۶	جدول ۵-۷-۸ محاسبه‌ی EFG در تقریب‌های مختلف ($10^{21} V/m^2$)

چکیده

محاسبه خواص ساختاری، الکترونی و گرادیان میدان الکتریکی ترکیب AmRh_3 با استفاده از نظریه‌ی تابعی چگالی و امواج تخت بهبود یافته خطی با روش پانسیل کامل (FP-LAPW) با استفاده از نرم‌افزار WIEN \uparrow K انجام شده است. ترکیب AmRh_3 فرومغناطیس است. یاخته بسیط AmRh_3 مکعبی ساده و دارای ساختار AuCu_3 است. محاسبات را با استفاده از تقریب GGA و LSDA در حضور برهم‌کنش اسپین مدار و در غیاب آن انجام داده، همچنین برای بررسی خواص مغناطیسی ترکیب اثر-spin polarized را نیز بررسی می‌کنیم. نتایج شامل پارامتر شبکه، مدول حجمی و مشتق آن، ضریب گرمای ویژه الکترونی، گرادیان میدان الکتریکی و اثر فشار بر روی آن است. محاسبات در ترکیب AmRh_3 نشان می‌دهد که تقریب GGA+SOC در محاسبه‌ی پارامتر شبکه در توافق خوبی با مقدار تجربی است. گرادیان میدان الکتریکی را در فشارهای مختلف در حضور برهم‌کنش اسپین مدار و در غیاب آن محاسبه کرده‌ایم. سهم اوربیتال‌های مختلف در ایجاد گرادیان میدان الکتریکی نشان می‌دهد که سهم عمده در ایجاد گرادیان میدان را اوربیتال p-p به عهده دارد. همچنین با افزایش فشار گرادیان میدان الکتریکی افزایش پیدا می‌کند.

فصل اول

تاریخچه

بررسی خواص بلورها با لحاظ کردن تمام برهم‌کنش‌های بین ذرات از دیدگاه مکانیک کوانتومی کاری بسیار پیچیده و در عمل بدون اعمال تقریب غیر ممکن است. برای بررسی خواص بلورها تاکنون راهها و تقریب‌های مختلفی ارائه شده است که از میان این روش‌ها نظریه‌ی تابعی چگالی بهترین روش بوده است. قبل از اینکه نظریه‌ی تابعی چگالی با اثبات قضایای هوهنبرگ-کوهن کامل شود، در سال ۱۹۲۸-۱۹۲۷ توماس و فرمی^۱ از چگالی به عنوان متغیر اصلی استفاده کرده‌اند. بعدها این نظریه توسط دیراک^۲ در سال ۱۹۳۰ و سپس توسط وایتس ذکر^۳ در سال ۱۹۳۵ کاملتر شد. مشکل تمامی این روش‌ها در آن بود که لازم است برای جمله بزرگ انرژی جنبشی تقریب زده شود. لذا تقریب زیادی در محاسبات وارد می‌شد حال آنکه در نظریه‌ی تابعی چگالی بخش عمده‌ای از انرژی

^۱ Tomas, Fèrmi

^۲ Dirak

^۳ Vaits zeker

جنبشی با دقت محاسبه می‌شود و تقریب نهایی تنها بر روی جمله کوچک تبادل همبستگی اعمال می‌شود، لذا محاسبات از دقت قابل توجهی در مقایسه با روش مبتنی بر توماس-فرمی برخوردار است.

عنصر Am توسط جی.تی.سی-بورگ^۱ و همکارانش در سال ۱۹۴۵ در ایالات متحده آمریکا کشف شد. امریکیم چهارمین عنصر بعد از اورانیم در گروه اکتینیدها است. ایزوتوپ ۲۴۱ این عنصر از واکنش نوترونی ایزوتوپ اورانیم در راکتورهای هسته‌ای در سال ۱۹۴۴ حاصل شد. این عنصر در در حالت تازه بسیار درخشان به رنگ سفید و نقره‌ای است و بسیار چکش خوارتر از اورانیم و نپتونیم است. این عنصر بسیار سمی است فعالیت اشعه آلفا این عنصر سه بار بیشتر از رادیم است. از ایزوتوپ امریکیم ۲۴۱ برای منابع سبک اشعه گاما استفاده می‌شود. همچنین از این عنصر برای ساخت شیشه‌های رادیواکتیو با ضخامت بالا در صنایع شیشه سازی صفحه تخت و به عنوان منابع یونیزاسیون برای ردیابهای گازی استفاده می‌شود Am یک فلز واکنش پذیر است. دارای عدد اتمی ۹۵، جرم اتمی ۲۳۹/۰۵۲۲ نقطه ذوب 1176°C و دارای ظرفیتهای ۳ و ۴ و ۵ است. اکتینیدها شامل ۱۵ عنصر هستند که بین Ac و Lr قرار دارد با عدد اتمی بین ۸۹-۱۰۳ است. سری اکتینیدها شامل تعدادی از عناصر نادر زمین است. خواص شیمیایی در Ac (اکتیوم) نسبت به La (لانتانوم) شباهت کمتری نسبت به همدیگر دارد. همه‌ی اکتینیدها رادیواکتیو و دارای خاصیت فلزی هستند. جفت‌شدگی اسپین-مدار در آن قابل ملاحظه است. مطالعات نشان می‌دهد که ترکیب AmRh_3 دارای خاصیت مغناطیسی است. زمانی که فاصله‌ی اکتینید-اکتینید نسبتاً کوچک باشد همپوشانی بین الکترونهای *5f* اتم‌های همسایه بزرگ است و الکترونهای *5f* به طور قابل ملاحظه از یون‌ها فاصله می‌گیرند و کمتر تحت تاثیر الکترونهای *s* مغزه واقع می‌شوند. همچنین فاصله جدایی Am-Am تاثیر مهمی را بر روی رفتار الکترونهای *5f* دارند. عامل مهمی که باعث بروز ویژگی‌های گوناگون در ترکیب‌های اکتینید می‌شود ظاهراً جایگزیدگی الکترونهای *5f* به عنوان یک تابعی از افزایش عدد اتمی از انقباض اوربیتال‌های *5f* سرچشمه گرفته است و تعداد الکترونهای *5f* را افزایش می‌دهد. در این پایان نامه ترکیب AmRh_3 را بررسی می‌کنیم. در فصل دوم به مطالعه‌ی سیستم‌های بس‌ذره‌ای، در

^۱ G.T.Seaborg

فصل سوم حل معادلات کوهن شم، در فصل چهارم معرفی نرم افزار wien2k و فصل پنجم در مورد خواص ترکیب $AmRh_3$ به ترتیب می پردازیم. در ابتدا با محاسبه ی انرژی کل بلورها در ثابت شبکه و رسم نمودار انرژی بر حسب حجم، خواص ساختاری شامل پارامتر شبکه تعادلی شبکه، مدول حجمی و مشتق آن محاسبه می کنیم و مشاهده می کنیم که ترکیب تقریب $GGA+SO$ با مقدار تجربی در توافق خوبی است. سپس محاسبات شامل چگالی حالتها است که در تمام تقریبها انجام داده و مشاهده می کنیم در برهم کنش اسپین مدار تاثیر زیادی داشته است. همچنین ضریب گرمای ویژه را نیز محاسبه کرده، سپس گرادیان میدان الکتریکی اطراف هسته که ناشی از عدم تقارن توزیع ابر الکترونی است و سهم اوربیتالهای مختلف در آن، در مکان هر یک از اتمها محاسبه می شود.

فصل دوم

مطالعه‌ی دستگاه‌های بس ذره‌ای

۲-۱- مقدمه

بررسی دستگاه‌های بس ذره‌ای^۱ در فیزیک ماده چگال از اهمیت قابل ملاحظه‌ای برخوردار است. یک دستگاه بس ذره‌ای از تعدادی زیادی ذرات مشابه و غیر مشابه تشکیل شده که با یکدیگر برهم کنش دارند. اتمها، مولکولها، بلورها جزء دستگاه‌های بس ذره‌ای به شمار می‌آیند که هر کدام از تعدادی الکترون و هسته تشکیل شده‌اند. به دو روش کلاسیک و کوانتومی می‌توان یک سیستم بس ذره‌ای را مورد مطالعه و بررسی قرار داد.

در بررسی کلاسیکی دستگاه‌های بس ذره‌ای بین اتمها یک پتانسیل در نظر می‌گیریم و نیروهای وارد بر هر اتم و انرژی کل دستگاه را با استفاده از این پتانسیل به دست می‌آوریم. مشکل اصلی این روش انتخاب پتانسیل مناسب برای هر ماده است، چون پتانسیل برای تمامی مواد مشابه نیست، باید

^۱Many-Body System

برای هر ماده یک پتانسیل مخصوص به آن ساخته شود، که این پتانسیل نیز با تغییر شرایط نظیر اعمال فشار و گرما به سیستم تغییر می کند. این مشکل را تا حدی با کار بردن پارامترهای بیشتر در پتانسیل برطرف کرد. این کار نیز حجم محاسبات را افزایش می دهد و اگر تعداد پارامترها را کاهش دهیم، دیگر دقت لازم را نداریم بهترین مزیت روش کلاسیکی سرعت بالای محاسبات است که می توان با به کارگیری کامپیوترهای نه چندان سریع دستگاه های بسیار بزرگ را مورد بررسی قرار داد. به عنوان مثال بسیاری از خواص ماکروسکوپی یک بلور را می توان با این مورد بررسی قرارداد.

در بررسی کوانتومی به دلیل آثار کوانتومی موقعیت پیچیده ترمی شود. بررسی دقیق آرایه ای از اتمهای بلور به عنوان یک دستگاه بس ذره ای نیازمند حل معادله ی شرودینگر کل بلور جهت تعیین توابع موج و ویژه مقادیر انرژی خواهد بود. حل چنین معادله ای به دلیل هامیلتونی پیچیده آن (به خاطر وجود جملات برهمکنشی که معمولا در هیچ دستگاهی قابل جداسازی نیستند) عملا غیر ممکن است. تنها راه موجود استفاده از روشهای تقریبی مختلف است که برای دستگاه های بس ذره ای در فیزیک ماده چگال ارائه شده و توسعه یافته اند اکثر خواص فیزیکی بلور، یک دستگاه بس ذره ای، به نحوی به انرژی کل و یا تغییر در آن وابسته است. بنابر این انرژی مانند یک دستگاه آزمایشگاهی چند منظوره برای بررسی خواص بلورها به کار گرفته می شود. مثلا در یک بلور با ساختارهای گوناگون به دنبال پیدا کردن پایدارترین ساختار در یک دما و فشار خاص باشیم باید کمترین انرژی ساختار را در آن شرایط جستجو کنیم یا اگر پارامتر تعادلی شبکه مورد نظر باشد می توان با محاسبه و مقایسه انرژی بلور به ازای مقادیر مختلف پارامتر شبکه کم انرژی ترین حالت را تعیین و پارامتر مربوط به آن را پارامتر تعادلی شبکه انتخاب کرد. اگر چه خواص یک بلور، یک دستگاه بس ذره ای، را از پارامترهای مختلفی می توان به دست آورد اما مربوط بودن این خواص به انرژی از جامعیت بیشتری برخوردار است. در روشهای کوانتومی دستگاه را در اولین قدم به دو بخش الکترونی و یونی تقسیم می کنیم و برای هر بخش معادله ی شرودینگر مربوط به آن را حل می کنیم و با استفاده از ویژه مقادیر و ویژه توابع، خواص دستگاه را استخراج می کنیم. مزیت این روش مستحکم بودن مبنای کار است، زیرا بر پایه ی اصول اولیه مکانیک کوانتومی استوار است و تنها در این روش است که می توان خصوصیات کوانتومی دستگاه را مورد بررسی قرار داد. عیب این روش حجم زیاد محاسبات است که می توان با استفاده از خواص تقارنی و اعمال تقریب های مناسب این حجم زیاد محاسبات را تا حدی کاهش دهیم. به دلیل علاقه ی ما به بررسی خواص کوانتومی نظیر ساختار نواری انرژی، منحنی چگالی حالتها و گرادیان میدان الکتریکی روش کوانتومی را برای بررسی خواص ترکیب $AmRh_3$ انتخاب کردیم.

۲-۲- مطالعه‌ی کوانتومی دستگاه بس ذره‌ای

هدف اصلی در این روش حل معادله‌ی شرودینگر بس ذره‌ای است، اگر با استفاده از برخی تقریب‌ها معادله‌ی بس ذره‌ای را به تعدادی معادله‌ی تک ذره‌ای تبدیل کنیم و این معادلات تک ذره را به صورت خودسازگار حل کنیم، و در نهایت انرژی کل را از حل معادله استخراج کرده و بسیاری از خواص دستگاه را مورد بررسی قرار می‌دهیم.

به دو روش می‌توان معادله‌ی شرودینگر بس ذره را به معادلات تک ذره تبدیل کرد. در روش اول تابع موج $\psi(x_1, x_2, \dots, x_n)$ که شامل $3n$ متغیر است، (n تعداد ذرات است) که به عنوان متغیر اساسی در نظر گرفته می‌شود و یا استفاده از اصل وردشی معادلات تک ذره هارتزی^۱ و هارتزی^۲ - فوک^۳ را به دست می‌آید.

در روش دوم چگالی الکترونی را به عنوان متغیر اساسی در نظر می‌گیرند و با وردش نسبت به آن معادلات تک ذره (معادلات کوهن - شم^۳) را به دست می‌آورند. روش دوم برتری‌هایی نسبت به روش اول دارد که در زیر به آن اشاره می‌شود.

اولین مزیت کمتر بودن تعداد متغیرها در چگال $\rho(r)$ نسبت به تابع موج است زیرا چگالی تنها به سه متغیر مکانی وابسته است حال آنکه تابع موج به سه $3n$ متغیر بستگی دارد. دومین مزیت این است که چگالی یک کمیت قابل اندازه‌گیری در آزمایشگاه است در حالی که در مورد تابع موج چنین نیست. قبل از تبدیل معادله‌ی بس ذره‌ای به دسته معادلات تک ذره و محاسبه انرژی الکترونی‌های موجود در بلور را به دو دسته تقسیم می‌کنیم:

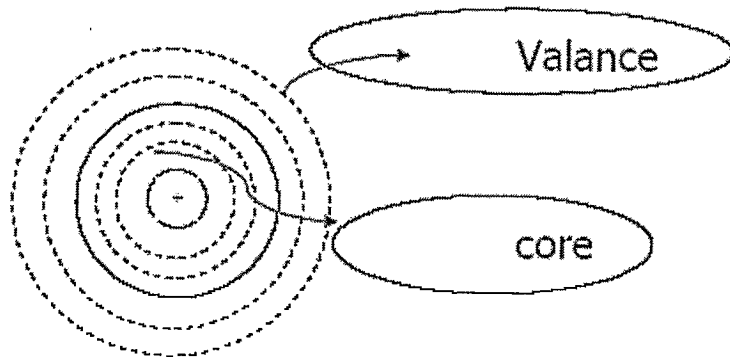
۱- الکترونی‌های مغزه: بستگی آنها به هسته زیاد است و خواص آنها در بلور و اتم تفاوت زیادی ندارد.

۲- الکترونی‌های ظرفیت: بستگی آنها به هسته کم است و گسترش آنها بنا به شرایط محیط تغییر می‌کند خواص عمده بلور ناشی از این الکترونها است.

^۱Hartree

^۲Hartree-fock

^۳Eqations Kohn-Sham



شکل (۱-۲) الکترونیهای ظرفیت و مغزه

مجموعه‌ی هسته و الکترونیهای مغزه را در بلور یون می نامیم. اکنون می توان هامیلتونی یک دستگاه بس ذره‌ای را به صورت زیر نوشت:

$$H = H^e + H^I + H^{e-e} + H^{I-I} + H^{I-e} + H_{ext}^e + H_{ext}^I \quad (۱-۲)$$

در رابطه بالا جملات هامیلتونی به ترتیب عملگرهای انرژی جنبشی مربوط به الکترونها، انرژی جنبشی مربوط به یونها بر هم کنش الکترونها، بر هم کنش یونها، بر هم کنش الکترونها و یونها و دو جمله آخر بر هم کنش الکترونها و یونها با میدانهای خارجی است که آنها صفر فرض می شوند.

معادله‌ی شرودینگر مجموعه‌ی الکترونها و یونها به صورت $H\Psi\{(\vec{r}_i), \vec{R}_\alpha\} = E\Psi\{(\vec{r}_i), \vec{R}_\alpha\}$ است که یونها در مکان \vec{R}_α با بار eZ_α و الکترونها در مکان \vec{r}_i هستند، بنابراین می توان جملات هامیلتونی را به صورت زیر نشان داد:

$$H_{ke}^e = \sum_i -\frac{\hbar^2}{2m} \nabla_i^2 \quad (۲-۲)$$

$$H_{ke}^I = \sum_\alpha -\frac{\hbar^2}{2m_\alpha} \nabla_\alpha^2 \quad (۳-۲)$$

$$H^{e-e} = \frac{1}{2} \sum_i \sum_j \frac{e^2}{4\pi\epsilon_0 |\vec{r}_i - \vec{r}_j|} \rightarrow i \neq j \quad (۴-۲)$$